

А.А.Дегтярев, С.И.Письменная

МОДЕЛИРОВАНИЕ ТЕПЛОвого ПОЛЯ ПРИ ИДЕНТИФИКАЦИИ
ПАРАМЕТРОВ ОПТИЧЕСКИХ ЭЛЕМЕНТОВ ЛАЗЕРНЫХ СИСТЕМ

(г.Куйбышев)

Одним из важнейших параметров прозрачных оптических элементов лазерных систем большой мощности является коэффициент поглощения энергии лазерного излучения [1]. Для его определения проводят специальный эксперимент, в процессе которого измеряется температура нагреваемого лазером оптического элемента. Далее производится обработка полученных измерений на ЭВМ, в результате выдается оценка искомого параметра. Сложность применяемых алгоритмов обработки экспериментальных данных, а следовательно и длительность самой обработки, существенно зависят от размерности математической модели описывающей процесс нагревания образца. Поэтому при аттестации больших партий оптических элементов важно в целях экономии времени обеспечивать выбор наиболее простой модели из тех, которые согласуются с требованиями точности.

Рассмотрим вопрос об условиях выбора размерности математической модели, описывающей взаимодействие прозрачного оптического элемента с лазерным излучением. Элементы, о которых идет речь, имеют форму диска радиусом R и толщиной l .

Пусть лазерный пучок, обладающий круговой симметрией, падает нормально на поверхность элемента, причем оси пучка и элемента совпадают (рис.1). Закон распределения интенсивности излучения имеет вид

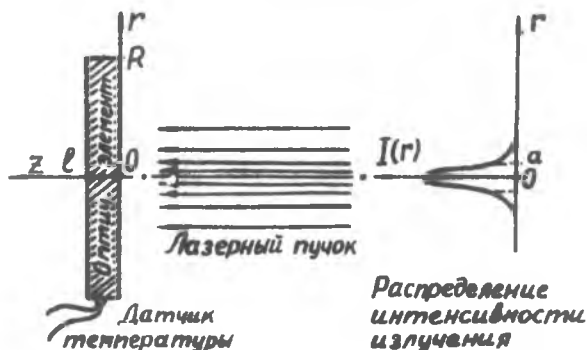
$$I(r) = \frac{P}{\pi a^2} \exp \left[- \left(\frac{r}{a} \right)^2 \right],$$

где P - мощность излучения;

a - эффективный радиус пучка ($a \approx 0,1R$);

r - радиальная координата полярной системы.

При прохождении пучка через элемент происходит поглощение части излучения, в результате чего элемент нагревается. В типичных условиях эксперимента увеличение температуры нагреваемого образца не превосходит нескольких градусов, что вызывает пренебрежимо ма-



Р и с. 1. Схема воздействия лазерного пучка на прозрачный оптический элемент

ные изменения таких параметров элемента, как объемная теплоемкость C , коэффициент теплопроводности K . По этой же причине будем считать независимым от температуры и коэффициент теплоотдачи h , характеризующий теплообмен между основаниями образца и внешней средой.

Для получения динамики нагрева образца на нерабочую боковую поверхность $r=R$ устанавливают тепловые датчики. Затем боковую поверхность теплоизолируют. Тогда тепловой процесс в образце будет описываться следующей двумерной (по числу пространственных переменных) моделью [2]:

$$\left. \begin{aligned} C \frac{\partial u}{\partial t} &= K \left(\frac{\partial^2 u}{\partial r^2} + \frac{1}{r} \frac{\partial u}{\partial r} + \frac{\partial^2 u}{\partial z^2} \right) + \beta I(r); \\ u(r, z, 0) &= 0; \quad \left(\frac{\partial u}{\partial r} \right)_{r=R} = 0; \\ \left(K \frac{\partial u}{\partial z} - hu \right)_{z=0} &= 0; \quad \left(K \frac{\partial u}{\partial z} + hu \right)_{z=l} = 0 \end{aligned} \right\} \quad (1)$$

где $u(r, z, t)$ - приращение температуры в точке (r, z) за время t по сравнению с температурой окружающей среды, которая считается постоянной; β - коэффициент поглощения.

Если пренебречь неравномерностью распределения температуры по длине образца, то модель (1) можно легко привести к одномерной:

$$\left. \begin{aligned} C \frac{\partial v}{\partial t} &= K \left(\frac{\partial^2 v}{\partial r^2} + \frac{1}{r} \frac{\partial v}{\partial r} \right) - \frac{2h}{l} v + \beta I(r); \\ v(r, 0) &= 0; \quad \left(\frac{\partial v}{\partial r} \right)_{r=R} = 0. \end{aligned} \right\} \quad (2)$$

Найдем условия, при которых разница между решениями двумерной и одномерной задач в течение всего процесса нагревания не превысит величины допустимой погрешности. Нас интересует погрешность, возникающая в области размещения датчиков (т.е. при $r=R$), поскольку именно она сказывается на точности вычисления искомого параметра образца.

Рассмотрим сначала случай, когда в эксперименте используются датчики, усредняющие температуру по толщине образца. Введем обозначение

$$\varepsilon(r,t) = \bar{u}(r,t) - v(r,t), \quad (3)$$

где $\bar{u}(r,t)$ - средняя по z температура образца. Функция $\varepsilon(r,t)$ удовлетворяет следующей краевой задаче:

$$c \frac{\partial \varepsilon}{\partial t} = \kappa \left(\frac{\partial^2 \varepsilon}{\partial r^2} + \frac{1}{r} \frac{\partial \varepsilon}{\partial r} \right) - \frac{2h}{l} \varepsilon + \frac{2h}{l} [\bar{u}(r,t) - u(r,0,t)] \quad (4)$$

$$\varepsilon(r,0) = 0; \quad \left(\frac{\partial \varepsilon}{\partial r} \right)_{r=R} = 0.$$

Так как разность $\bar{u}(r,t) - u(r,0,t)$ положительна и монотонно возрастает на промежутке $0 < t < +\infty$, то функция $\varepsilon(r,t)$ будет обладать такими же свойствами на том же промежутке. Следовательно, в любой момент времени справедливо неравенство

$$\varepsilon(r,t) < \varepsilon_{уст}(r), \quad (5)$$

где $\varepsilon_{уст}(r)$ - установившееся значение погрешности, $\varepsilon_{уст}(r) = \lim_{t \rightarrow +\infty} \varepsilon(r,t)$.

Найдем среднее по r от $\varepsilon_{уст}(r)$. Для этого усредним по r уравнение модели (4) и учтем, что в установившемся режиме $\partial \varepsilon / \partial t = 0$. В результате получим

$$\bar{\varepsilon}_{уст} = \bar{\bar{u}}_{уст} - \bar{\bar{u}}_{уст} |_{z=0}, \quad (6)$$

где символ " $\bar{\sim}$ " означает усреднение по r . Чтобы найти выражение правой части равенства (6) через физические и геометрические параметры образца и лазерного пучка, усредним по r уравнение модели (1). Тогда для установившегося режима получим уравнение

$$\frac{d^2 \bar{\bar{u}}_{уст}}{dz^2} = - \frac{\beta \rho}{\pi \kappa R^2} \left[1 - \exp\left(-\frac{R^2}{a^2}\right) \right]. \quad (7)$$

Поскольку в реальном эксперименте $a \approx 0,1R$, величина $\exp(-R^2/a^2)$ будет ничтожно мала по сравнению с единицей. С учетом последнего решение уравнения (7) будет следующим:

$$\tilde{u}_{ycm}(z) = \frac{\beta D}{2\pi K R^2} \left(-z^2 + \ell z + \frac{\ell K}{n} \right). \quad (6)$$

На основании (6) и (8) получаем выражение для средней ошибки:

$$\tilde{\epsilon}_{ycm} = \frac{\beta D}{12\pi K} \left(\frac{\ell}{R} \right)^2. \quad (9)$$

Нетрудно показать, что функция $\epsilon_{ycm}(r)$ монотонно убывает на отрезке $0 \leq r \leq R$, следовательно имеет место неравенство

$$\epsilon_{ycm}(R) < \tilde{\epsilon}_{ycm}. \quad (10)$$

Из соотношений (5), (9) и (10) вытекает искомая оценка

$$\epsilon(R, t) < \frac{\beta D}{12\pi K} \left(\frac{\ell}{R} \right)^2. \quad (11)$$

Если в эксперименте используются точечные измерители, то оценка интересующей нас погрешности $\epsilon_1(R, z, t) = u(R, z, t) - v(R, t)$ будет вытекать из следующей цепочки неравенств:

$$|\epsilon_1(R, z, t)| \leq |u(R, z, t) - \bar{u}(R, t)| + \epsilon(R, t) < |(\tilde{u}_{ycm})_{z=\ell/2} - (\tilde{u}_{ycm})_{z=0}| + \tilde{\epsilon}_{ycm} < \frac{5\beta D}{24\pi K} \left(\frac{\ell}{R} \right)^2.$$

В итоге имеем

$$|\epsilon_1(R, z, t)| < \frac{5\beta D}{24\pi K} \left(\frac{\ell}{R} \right)^2. \quad (12)$$

Для частного случая, когда измерители устанавливаются в точках с координатой $z = \ell/2$, легко получить более точную оценку

$$\epsilon_1(R, \ell/2, t) < \frac{7\beta D}{48\pi K} \left(\frac{\ell}{R} \right)^2. \quad (13)$$

Оценки (11), (12) и (13) характеризуют абсолютную погрешность решения одномерной задачи при $r = R$, возникающую вследствие неучета распределения температуры по толщине. Поскольку эти оценки зависят от коэффициента поглощения β , подлежащего определению, то их практическое использование возможно лишь тогда, когда известно хотя бы грубое значение β .

Теперь рассмотрим вопрос о вычислении оценок для относительных погрешностей. Эти оценки не будут зависеть от β

Решение задачи (2), полученное методом разделения переменных [2], будет следующим:

$$v(r, t) = \beta A(r, t) = \beta \sum_{n=0}^{\infty} \frac{I_n}{K\lambda_n^2 + 2h/\ell} \left[1 - e^{-\left(\frac{K\lambda_n^2}{c} + \frac{2h}{\ell}\right)t} \right] J_0(\lambda_n r), \quad (14)$$

где I_n - коэффициенты разложения функции $I(r)$ в ряд Фурье-Бесселя;

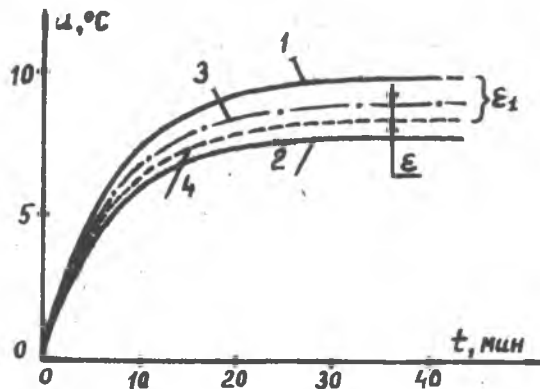
λ_n - неотрицательные корни уравнения $J_0'(\lambda R) = 0$.

Используя последнюю формулу, получаем оценку для относительной погрешности $\delta = \left(\frac{\epsilon}{v}\right)_{r=R}$:

$$\delta < \frac{D}{12\pi K A(R, t)} \left(\frac{\ell}{R}\right)^2. \quad (15)$$

Аналогично можно записать оценку для погрешности $\delta_r = (\epsilon_r/v)_{r=R}$.

С целью проверки качества полученных оценок были проведены расчеты тепловых полей для различных образцов при использовании как одномерной, так и двумерной моделей. Типичные результаты представлены на рис.2 и соответствуют образцу, выполненному из KRS-1



Р и с. 2. Графики решений одномерной и двумерной задач: 1, 2 - решение двумерной задачи при $z = \frac{\ell}{2}$ и $z = 0$ соответственно; 3 - решение двумерной задачи, усредненное по z ; 4 - решение одномерной задачи; ϵ и ϵ_1 - погрешности

При расчетах были использованы следующие параметры:

$$A = 3 \cdot 10^{-3} \frac{\text{л}}{\text{см}}; K = 5 \cdot 10^{-3} \frac{\text{Вт}}{\text{см}^2 \text{град}}; C = 1.5 \frac{\text{Джо}}{\text{см}^3 \text{град}}; R = 2 \text{ см};$$

$$l = 1 \text{ см}; h = 1.3 \cdot 10^{-3} \frac{\text{Вт}}{\text{см}^2 \text{град}}; P = 320 \text{ Вт}.$$

На рисунке кривые 1, 2 и 3 соответствуют функциям $u(R, l/2, t)$, $u(R, 0, t)$ и $\bar{u}(R, t)$, а кривая 4 является решением одномерной задачи $v(R, t)$. Погрешность $\varepsilon(R, t)$ монотонно возрастает с течением времени и к моменту $t = 30$ мин практически устанавливается, достигая величины $0,8^\circ\text{C}$, что не противоречит неравенству (11):

$$0,8^\circ\text{C} < 1,2^\circ\text{C} = \frac{BP}{12\pi K} \left(\frac{l}{R}\right)^2.$$

Погрешность $\varepsilon_1(R, l/2, t)$ достигает к этому моменту величины $1,7^\circ\text{C} < 2,2^\circ\text{C} = \frac{7BP}{48\pi K} \left(\frac{l}{R}\right)^2$. Соответствующие неравенства выполняются и для величин относительных погрешностей δ и δ_1 .

Этот и другие рассмотренные нами примеры подтверждают справедливость полученных оценок и указывают на возможность их практического применения.

Для образцов, обладающих высокой теплопроводностью или малыми габаритами, может оказаться излишним учет распределения температуры не только по толщине, но и по радиусу. Иными словами, при отыскании коэффициента поглощения достаточно пользоваться неравномерной моделью. Принятие решения относительно целесообразности использования последней зависит от величины возникающей при этом погрешности. Так, в случае применения усредняющих датчиков интересующая нас погрешность определяется следующим образом:

$$v(t) = \bar{u}(R, t) - \tilde{v}(t) = [v(R, t) - \tilde{v}(t)] + \varepsilon(R, t).$$

Выражение в квадратных скобках представляет собой ряд (11) без слагаемого с номером $n = 0$, и, следовательно, может быть вычислено одновременно с вычислением δ без дополнительных временных затрат. Аналогичным образом можно рассчитать интересующую погрешность при использовании точечных измерителей.

В заключение отметим, что рассматриваемый здесь вопрос о рациональном выборе модели теплового процесса возник в связи с разработкой математического обеспечения автоматизированной системы сбора и обработки результатов эксперимента для оценивания параметров оптических элементов. Его решение позволит не только избежать лишних временных затрат при обработке результатов измерений, но и получить дополнительный выигрыш во времени за счет более рационального планирования последовательности экспериментов при аттестации больших партий образцов.

Л и т е р а т у р а

1. Кириченко Н.А., Лукьянчук Б.С., Сапцыкин А.Н., Сисакян Е.В. К вопросу об измерении малых поглощений лазерного излучения в ИК прозрачных материалах /Квантовая электроника, 1982, № 10, т.9, с.2121-2122.

2. Тихонов А.Н., Самарский А.А. Уравнения математической физики.-М.:Наука, 1966.

УДК 681.3:744

В.В.Кравчук

ОДНА ЗАДАЧА ОПТИМИЗАЦИИ В МАШИНОЙ ГРАФИКЕ

(г.Куйбышев)

Эффективность использования вычислительных систем во многом зависит от наличия в них средств вывода графической информации. Одним из наиболее распространенных является шаговый чертежно-графический автомат (ЧГА). С его помощью получают твердые копии чертежей на бумажном и других носителях. Однако производительность ЧГА существенно ниже производительности ЭВМ, что приводит к снижению производительности всей системы и неоправданным задержкам в получении чертежно-графической документации. Последние, в свою очередь, снижают производительность программистов, так как заставляют программировать оптимальные траектории пишущего узла (ПУ) ЧГА.

Рассмотрим шаговый ЧГА, изображение на котором формируется путем перемещения ПУ по рабочему полю. Обозначим через $x(t)$, $y(t)$, $z(t)$ параметрическое представление траектории ПУ в системе координат ЧГА. Здесь

$$t \in [0; 1], \quad x(t) \in [0; A], \quad y(t) \in [0; B],$$

$t = 0$ соответствует началу формирования изображения;

$t = 1$ - окончанию;

$z(t) = 1$ соответствует опущенному положению ПУ, $z(t) = 0$ - поднятому;

A, B - линейные размеры листа.